

複列カーテン防波堤による波浪の静穏化に関する研究

慶應大学大学院 学生員 ○森田 知志
慶應大学工学部 正員 中村 孝幸

1. まえがき：カーテン防波堤の消波メカニズムとしては、堤体による波の反射、および堤体下端で形成される渦によるエネルギー遮断が挙げられよう。著者らの中の一人は単列カーテン防波堤の波のエネルギー遮断が主に透過波に影響することや、長周期波ほど大きくなること、および堤体を複列化することにより単列配置の場合に比べてほぼ2倍のエネルギー遮断が生じることなどを報告している。本研究は複列配置としたカーテン防波堤のエネルギー遮断効果の大きさに着目して長周期波の減勢をめざそうとするもので、特に2列堤体たるはこれまでに内水域における波浪の共振現象を利用して波浪減勢の可能性について明らかにしようとするものである。

2. 実験装置および実験方法：実験は、高さ 1.25 m 、幅 1 m 、長さ 28 m の2次元造波水槽を用いて行なった。水槽内には、その幅をほぼ2分するように隔壁板を設け、一方の水路にのみ複列カーテン防波堤の模型を設置し、他方の水路で入射波の測定が行えるようにしてある。模型堤体たるは、高さ 70 cm 、幅 49 cm 、厚さ 0.9 cm の鋼製板を2枚使用して、図-1に示すようす前列堤、後列堤として配置せしめた。なお、堤体の内縦間隔 B たるは $25\text{ cm} \sim 310\text{ cm}$ の範囲のものを、堤体のさく d たるは 27.5 cm と 47.5 cm の2種類を採用した。作用せしめた波の周期 T は、 $1.1\text{ sec} \sim 2.3\text{ sec}$ の範囲の5種類であり、入射波の波高 H としては各周期につれて $5, 10, 15\text{ cm}$ の3種類を採用した（ただし碎波する場合を除く）。また、水深 h としては 78 cm 一定とした。実験は各波条件およびきっ水条件の下に、 B を上述した範囲内において7～12種類に変化せしめて行ない、i) 入射波高 H 、ii) 透過波高 H_T 、iii) 複列堤体の反射波側における空間最大波高 H_{max} 、およびiv) 堤内水域における波高 H_X を各々測定した。そして反射率 C_R および透過率 C_T は、上記i)～iii) の測定波高を用い、 $C_R = (H_{max} - H)/H$ 、および $C_T = H_T/H$ により決定した。なお、本研究では、波のエネルギー遮断と密接な関連性を有すると考えられる堤体下端部に形成される渦についても、トレーサー法による可視化実験により観測している。

3. 解析法：本研究で用いた解析法は、著者らの中の一人が明らかとしている2次元波動場のグリーン関数を用いた方法である。²⁾ なお、この解析法は、完全流体の理論に基づくもので、渦などの非オーテンシャル的な流体现象については考慮できない。

4. 実験結果と算定結果との比較：(1) 堤内波浪の共振特性について：複列カーテン防波堤では、周期 T を固定し堤体間隔 B を変化させた場合、 B と入射波の波長 λ との比が特定の値に近づくと堤内波浪が増幅される現象、すなわち堤内波浪の共振現象の生じることが理論的にも実験的にも確認できた。そして本実験の範囲内では B/λ が $0 \sim 0.5$ の間で生じる第1次共振、および B/λ が $0.5 \sim 1.0$ の間で生じる第2次共振の出現を確認しており、これらの共振点付近における堤内波高の空間分布の代表例を図-2に示す。この図より第1次共振点では堤内波浪が空間的に一様に増幅される共振モードたる、また第2次共振点では前、後列堤に腹が、これらの中間

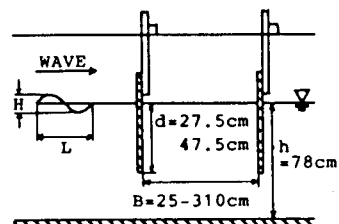
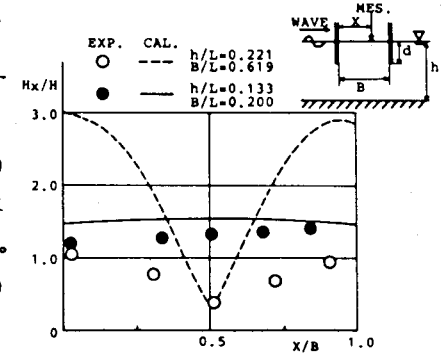


図-1 実験状況

図-2 堤内における波高の空間分布
($d/h = 0.609$)

に節が出現する共振モードになっていることがわかる。そして第2次共振点の場合の腹の位置における波高は実験値が算定値を大きく下回っており、これは実験で確認された堤体下端部よりの渦の発生が大きな減衰効果として作用したものと考えられる。なお、上記の共振が出現する B/L の値は、きっと水と水深との比 d/h 、および h/L によって変化することや、これら共振点に対応する B/L の値はほぼ理論的に予測できることなどを確認している。

(2) 反射率 C_R について: 図-3は C_R の B/L による変化の一例を示すもので、この場合、本実験で最も長周期波となる波の条件を固定してある。この図より、 C_R の算定値は B/L により波状的に変動していることが認められる。これは上述した波浪共振の出現によるものであり、 C_R が極小となる点が共振点に対応している。そして、実験値と算定値の比較をしてみると、 $C_R - B/L$ の関係は共振点付近を含めて定性的にも定量的にもよく一致している。

(3) 透過率 C_T について: 図-4は図-3と同条件下における C_T と B/L の関係を示す。図中には堤体間の液体場を死水域みなして剛体に置換した、すなわち複列堤体の外縁距離と同じ長さを有する矩形堤体と仮定した場合の透過率の算定値 $(C_T)_R$ と、単列配置とした場合の透過率の実験値 $(C_T)_S$ も付記してある。

この図より C_T の実験値は、 C_R の場合と異なり、特に共振点付近で算定値を大きく下回っていることが認められる。一方、単列堤体の $(C_T)_S$ との比較から、堤体を複列化することにより透過程を $1/4 \sim 1/2$ にも低減できることがわかる。また、等価長さの矩形堤体の $(C_T)_R$ との比較から、堤体間隔が $0.7L$ 以下の複列堤体はその間隔と同一の長さの矩形堤体とはほぼ同一の消波効果をもつこともわかる。本研究では、他の h/L および d/h の条件下においても $(C_T)_R$ との比較を行っている。その結果、複列堤体の C_T が $(C_T)_R$ を近似できる B の範囲は、 h/L の値たより多少異なるが、ほぼ h/d の4倍までであることを確認している。

(4) 波のエネルギー透散率 E_d について: 上述した堤内波高および C_T に関する実験値と算定値との差異の原因としては、まえがきで述べたエネルギー透散が挙げられる。本研究では、エネルギー透散を表わす示標として実測された C_R 、 C_T を用いてエネルギー透散率 E_d ($= 1 - C_T^2 - C_R^2$) を求めてみた。図-5は図-3、4に対応する E_d を B/L との関係で示すものである。この図より共振点付近においては E_d は極大となり、その値は 90% にも達することがわかる。また、本研究で実測した堤体下端の渦も共振点付近でその規模は増大しており、 E_d は主として堤体下端での渦の発生により生じているものと言える。

5. 結語: 以上のように、カーテン防波堤を複列配置とすることにより、特にその共振点でのエネルギー透散の増加を利用して、消波効果の向上、特に透過程の減勢を促進できることなどが明らかとなつた。

(参考文献) 1) 中村孝幸, “カーテンウォール型防波堤まわりの波変形と作用波力に関する研究”, 31回海講論文集, pp.512~516, 1984. 2) 中村孝幸, “薄肉物体まわりの波浪境界値問題に関する研究”, 30回海講論文集, pp.410~414, 1983.

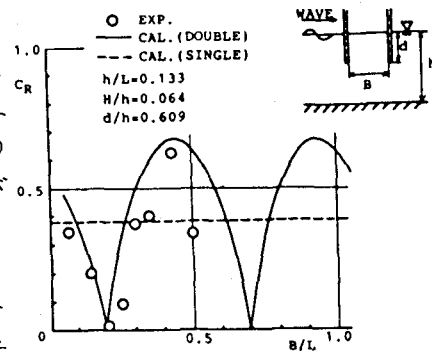
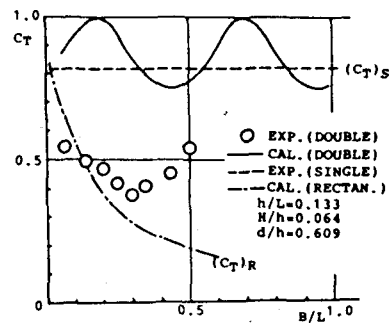
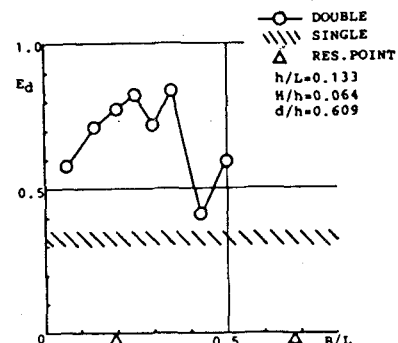
図-3 複列堤体の反射率 C_R 図-4 複列堤体の透過率 C_T 

図-5 複列堤体による波のエネルギー透散率 E_d
本研究では、エネルギー透散を表わす示標として実測された C_R 、 C_T を用いてエネルギー透散率 E_d ($= 1 - C_T^2 - C_R^2$) を求めてみた。この図より共振点付近においては E_d は極大となり、その値は 90% にも達することがわかる。また、本研究で実測した堤体下端の渦も共振点付近でその規模は増大しており、 E_d は主として堤体下端での渦の発生により生じているものと言える。